

# بررسی تجربی تاثیر پارامترهای هندسی انژکتور پیچشی بر عملکرد آن با استفاده از سیستم PDA

کریم کاظمی و کریم مظاهری

**چکیده:** کیفیت اسپری به خواص سیال، شرایط محیطی و نوع پودرکننده بستگی دارد. در این مقاله با استفاده از سیستم PDA (Phase Doppler Anemometer) تاثیر پارامترهای هندسی یک انژکتور پیچشی بر روی اندازه و سرعت قطرات اسپری مورد مطالعه قرار گرفته و با اندازه‌گیری‌های انجام یافته مشخص می‌شود که تغییر هر یک از اندازه‌های ابعادی انژکتور پیچشی چه تأثیری بر سرعت و اندازه قطرات می‌گذارد. بدین ترتیب می‌توان در طراحی و آزمایش‌های عملکردی، راهکاری برای انجام اصلاحات در دست داشت و همچنین بانک اطلاعات تدوین شده می‌تواند برای کالیبراسیون نرم‌افزارهای طراحی انژکتور مورد استفاده قرار گیرد.

**واژه‌های کلیدی:** اسپری، انژکتور پیچشی، PDA، قطر، سرعت، پارامترهای هندسی، قطرات

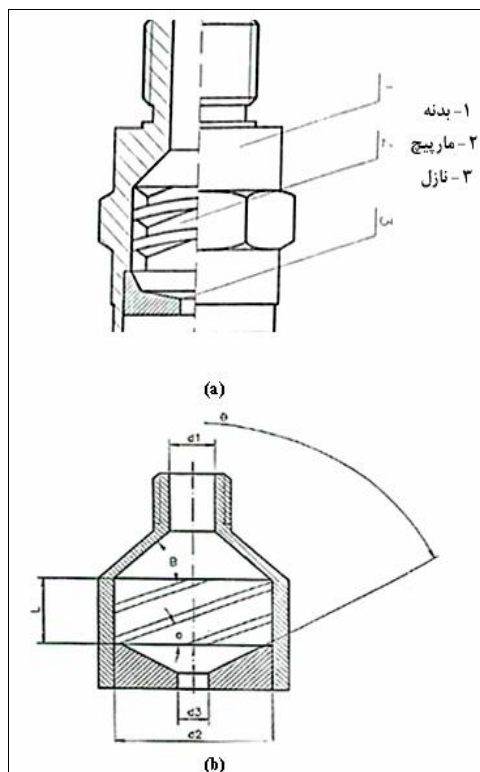
## ۱. مقدمه

برای داشتن یک احتراق کامل در موتورهای موشک و توربینی لازم است سوخت به صورت کامل پودر شده و یک مخلوط همگن سوخت و اکسیدکننده داشته باشیم. انژکتور پیچشی از جمله پودرکننده‌هایی است که یک پاشش مطلوب و همگنی را به وجود می‌آورد. یک نمونه از این انژکتور در شکل ۱ دیده می‌شود. مطالعه مشخصات اسپری با استفاده از فیزیک لیزر یکی از پیشرفته‌ترین روشها به شمار می‌رود و با استفاده از سیستم PDA می‌توان دینامیک قطرات را مورد مطالعه قرار داد [۱،۲،۳]. از آنجاییکه این روش هیچگونه اغتشاشی روی میدان پاشش به وجود نمی‌آورد. هنوز یکی از بهترین و مطلوبترین روشهای اندازه‌گیری دینامیک ذرات و بررسی کیفیت میدان اسپری محسوب می‌شود. بررسی‌های زیادی روی انواع پودرکننده به خصوص پودرکننده پیچشی انجام گرفته که می‌توان به مطالعات C. J. Bates [۴] در بررسی تأثیر

این مقاله در تاریخ ۸۵/۲/۱۰ دریافت و در تاریخ ۸۶/۸/۲۳ به تصویب نهایی رسیده است.

کریم کاظمی، دانشجوی دکتری رشته هوافضا دانشگاه صنعتی شریف  
kazemi\_phd@yahoo.com  
دکتر کریم مظاهری، استاد دانشگاه صنعتی شریف، mazaheri@sharif.ir

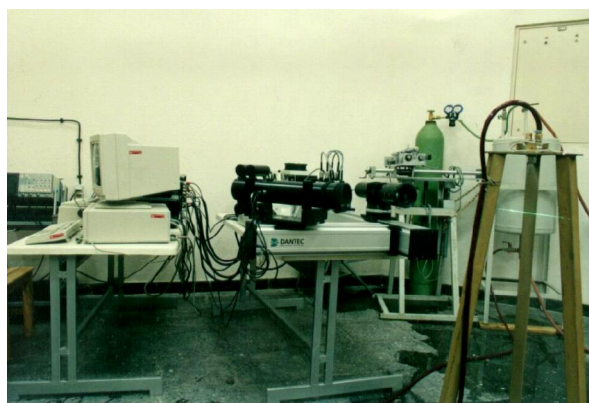
فشار بر پودر شدن سیال و مطالعات Zhao, Li & Chin [۵] بصورت تجربی و تحلیلی دینامیک قطرات با انژکتور پیچشی با استفاده از PDA، اشاره نمود. همچنین Dorfner [۶] تأثیر لزجت در انژکتورهای پیچشی را مورد بررسی قرار داده و نتیجه گرفت که افزایش لزجت، باعث افزایش اندازه قطرات می‌شود. از بین محققین کسانی مثل Hay, Jones [۷] تأثیر قطر نازل بر روی نفوذ را مورد بررسی قرار داده و نتیجه گرفتند که با افزایش قطر نازل، نفوذ افزایش پیدا می‌کند زیرا قطر قطرات زیاد شده و قطرات بزرگتر دارای انرژی جنبشی بیشتری هستند. همچنین Bucco و Reitz [۸] روی طراحی بهینه نازل تحقیقاتی انجام داده و پارامترهای مؤثر بر کیفیت بهتر اسپری را مورد بررسی قرار داده‌اند و Yule و همکارانش [۹] بررسی مشابه تحقیق صورت گرفته در این مقاله انجام داده‌اند، اگرچه انژکتور مورد استفاده ایشان از نوع پیچشی بوده است ولی نوع آن با نوع انژکتور مورد استفاده در این تحقیق تفاوت دارد ولی نتایج کلی کاملاً همخوانی دارد. Ramamuthi و همکاران [۱۰] نیز دو نوع انژکتور پیچشی سیلندری (Angular Orifice) را مورد بررسی قرار داده که مقایسه دو نوع انژکتور پیچشی با مارپیچ و انژکتور پیچشی محوری بوده و افت فشاری که هر کدام ایجاد می‌کنند بیشتر مد نظر بوده است. Wany و همکارش Lefebvre [۱۱] کارهای زیادی به صورت تجربی انجام



شکل ۱. انژکتور پیچشی

(a) نمای بیرونی و برش خورده (b) شمای داخلی

در ابتدا برای انژکتور تغییر داده شده دی‌سنجی شده و سپس زاویه مخروط پاشش با دوربین عکس‌برداری دیجیتال اندازه‌گیری می‌گردد و در آزمایش انتهایی، قطر و سرعت قطرات با سیستم PDA اندازه‌گیری شده‌اند که در اینجا به خاطر اهمیت موضوع، سیستم PDA توضیح داده می‌شود. در شکل ۲ نمایی از چیدمان آزمایشگاه و در شکل ۳ شماتیک آن نشان داده شده است.



شکل ۲. چیدمان آزمایشگاه و سیستم PDA

## ۲-۱. اجزاء سیستم PDA

اجزاء سیستم PDA شامل ۳ قسمت اصلی به علاوه متعلقات اضافی به شرح زیر می‌باشد:

داده اند، که عمدتاً ارتباط قطر متوسط قطرات با افت فشار و خواص سیال را بیان نموده‌اند.

Mao و همکارانش [۱۲] نزدیک نیم قرن است که روی اتمیزاسیون انواع سیال کار می‌کنند. این افراد را می‌توان جزء پیشکسوتان این تحقیقات به شمار آورد. بررسی انجام پذیرفته توسط افراد زیر نیز کمک زیادی برای آزمایشات و نتایج به دست آمده این تحقیق نموده است. Chaney و همکاران ایشان [۱۳] که در رابطه با مدل کردن اسپری فعالیت نموده‌اند، J. Ortman و همکار ایشان H. Lefebvre [۱۴] در زمینه توزیع ذرات سوخت و آقای ک. قربانیان و تیم همراهش [۱۵] در رابطه با انژکتور پیچشی کارهای مختلفی انجام داده‌اند. در تحقیقات و بررسی‌های انجام شده فوق عمدتاً به بررسی مکانیزم تأثیر فشار، خواص سیال، شرایط محیطی، تغییر قطر نازل و ... پرداخته شده است ولی تأثیر تغییر تمام پارامترهای هندسی یک انژکتور کمتر بررسی شده است. هر چند مطالعات فوق در طراحی سامانه‌های کنترلی موتورهای مربوطه بسیار مفید می‌باشند و می‌توان با تغییرات هندسی مناسب راه حل‌های بهینه‌ای در طراحی سامانه کلی موتور از نظر اندازه کلی، راندمان و پایداری احتراق ایجاد نمود.

## ۲. آزمایش و تجهیزات بکارگرفته شده

در این تحقیق، پارامترهای هندسی شکل ۱ تک تک تغییر داده و تأثیر آن را در اندازه و سرعت قطرات بررسی شده است. در شکل ۱ انژکتور مورد بررسی شامل ۳ قسمت بدنه، قطعه مارپیچ و نازل خروجی نشان داده شده است. نتایج تغییرات انجام شده در قطر نازل، زاویه آن و عمق شیار قطعه مارپیچ در بخش ۶ مقاله آورده شده است. پارامترهایی که تغییر داده شده و مورد آزمایش قرار گرفته‌اند عبارتند از:

## جدول ۱. بررسی تأثیر قطر خروجی انژکتور بر سرعت و اندازه

## قطرات

شماره آزمایش	۱	۲	۳	۴	۵
پارامتر تغییر داده شده $d_3$ [mm]	۲	۲/۵	۳	۳/۵	۴

## جدول ۲. بررسی تأثیر تغییر عمق شیار مارپیچ بر سرعت و

## اندازه قطرات

شماره آزمایش	۱	۲	۳
پارامتر تغییر داده شده $h$ [mm]	۰/۵	۱	۱/۵

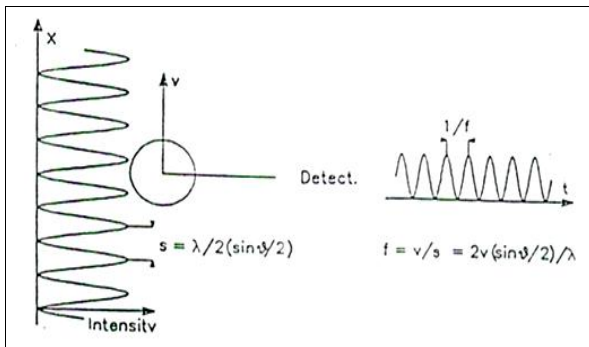
## جدول ۳. بررسی تأثیر زاویه ورودی نازل

شماره آزمایش	۱	۲	۳	۴
پارامتر تغییر داده شده $2\theta^\circ$	۹۰	۱۰۰	۱۱۰	۱۲۰

قطره، با سرعت آن متناسب است و این تناسب با رابطه زیر بیان می‌گردد:

$$V = f \cdot s = f \cdot \lambda / 2 \sin(\gamma/2) \quad (1)$$

که در رابطه (۱)، (v) سرعت قطره، f فرکانس انعکاس یافته، s ضخامت لایه‌های تاریک و روشن، λ طول موج نور لیزر و γ زاویه برخورد دو پرتو نور لیزر می‌باشد. جهت حرکت قطره با شیفت دادن یکی از پرتوهای نور که باعث حرکت فرنجه‌ها می‌شود، قابل تشخیص است.



شکل ۴. روش اندازه‌گیری سرعت قطره

#### ۴. اندازه‌گیری قطر قطره

سیستم PDA پیشرفته‌تر از سیستم LDA<sup>۴</sup> بوده و توانایی اندازه‌گیری قطر قطرات را نیز دارد که روش آن به شرح زیر می‌باشد:

مطابق شکل ۵ اگر دریافت‌کننده‌های نورهای انعکاس یافته را در دو زاویه مختلف قرار داده شود، دو پرتو دریافت شده توسط دو آشکارکننده، اختلاف مسیر اپتیکی خواهند داشت و این اختلاف مسیر اپتیکی باعث ایجاد اختلاف فاز مطابق رابطه (۲) می‌شود.

$$\phi_{12} = 2\pi f \Delta t \quad (2)$$

این اختلاف فاز متناسب با قطر قطره خواهد بود. هرچه قطر قطره بزرگتر باشد، اختلاف فاز ایجاد شده بیشتر خواهد بود، رابطه (۲) را به صورت زیر می‌نویسیم:

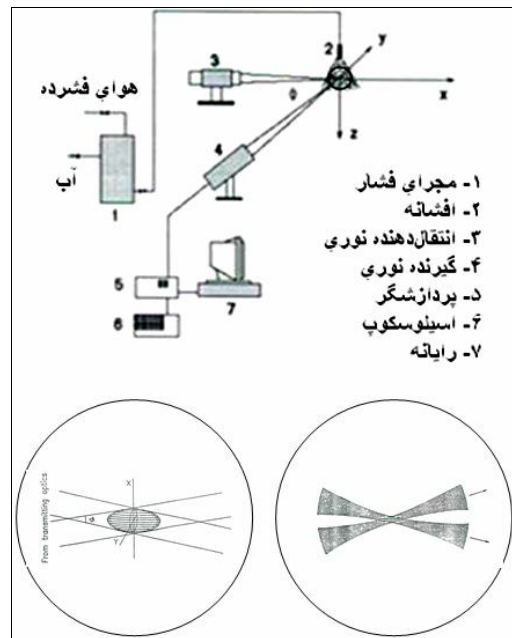
$$\phi_i = \alpha B_i \quad (3)$$

که در آن:

$$\alpha = \left( n_1 / \lambda \right) D \quad (4)$$

در رابطه ۴، D قطر قطره و n<sub>۱</sub> ضریب پراکندگی محیط و λ طول موج نور لیزر در خلأ می‌باشد و B<sub>i</sub> فاکتور هندسی انعکاس اول است که با رابطه زیر مشخص می‌شود [۲]:

- (a) اجزاء اپتیکی شامل تولیدکننده و انتقال‌دهنده نور لیزر<sup>۱</sup> و قسمت دریافت‌کننده<sup>۲</sup>
- (b) پردازنده سیگنال<sup>۳</sup>
- (c) کامپیوتر
- (d) متعلقات



شکل ۳. چیدمان شماتیک سیستم PDA

منبع نوری سه دسته نور متفاوت به صورت زیر تولید می‌کند:

- نور سبز با طول موج 514.5 میکرون برای اندازه‌گیری سرعت محوری و قطر قطرات
- نور آبی با طول موج 408 میکرون برای اندازه‌گیری سرعت شعاعی
- نور بنفش با طول موج 476.5 میکرون برای تنظیمات لازم از جمله تشکیل حجم اندازه‌گیری و مقطع آزمایش

نورهای سبز و آبی رنگ با گذشتن از تقسیم‌کننده به دو دسته تقسیم می‌شوند و با گذر از یک عدسی، همدیگر را در یک نقطه قطع کرده و تشکیل حجم اندازه‌گیری (fringe) را می‌دهند. (شکل ۳) با گذشتن ذره از این حجم اندازه‌گیری، سرعت و قطر آن اندازه‌گیری می‌شود.

#### ۳. اندازه‌گیری سرعت قطره

مطابق شکل ۴ وقتی قطره از حجم اندازه‌گیری عبور می‌کند، آشکار کننده انعکاس نور آنرا دریافت می‌کند. فرکانس نور منعکس شده از

<sup>۱</sup> Laser and Transmitter System

<sup>۲</sup> Receiving System

<sup>۳</sup> Signal Processing

<sup>۴</sup> Laser Doppler Anemometer

اندازه‌گیری با استفاده از میز خودکار تنظیم‌شده، پس از آن اسپری مورد نظر تشکیل و اندازه‌گیری شروع می‌شود.

برای اندازه‌گیری بهتر است چندین بار یک آزمایش تکرار شود و اطلاعات به دست آمده با همدیگر مقایسه گردد و در شرایط یکسان نباید اختلاف زیادی در اطلاعات وجود داشته باشد. پس از اطمینان از تمام موارد، فشار مورد نظر را تنظیم و توسط میز متحرک سه بعدی نمونه‌برداری طی چند مرحله انجام و در کامپیوتر ذخیره شده و پس از اطمینان از نمونه‌برداری، آزمایش خاتمه یافته و انژکتور را عوض کرده و آزمایش با انژکتور دیگر که تمام ابعاد آن بجز یک پارامتر ثابت مانده است، تکرار می‌شود. هدف اندازه‌گیری در این آزمایش، بررسی تاثیر تغییر پارامترهای هندسی بر کیفیت میدان پاشش می‌باشد، لذا در تمام انژکتورها تمام شرایط دیگر به خصوص فشار و مقطع اندازه‌گیری باید ثابت باشد. در این آزمایش‌ها فشار (bar) 2.5 و مقطع اندازه‌گیری 3.5 سانتیمتر از نوک نازل انتخاب شده است که البته در تحقیقات بعدی آزمایشات در فشارها و در مقاطع مختلف انجام پذیرفته که به خاطر حجم زیاد در این مقاله ارائه نشده است.

### ۶. نتایج آزمایشات

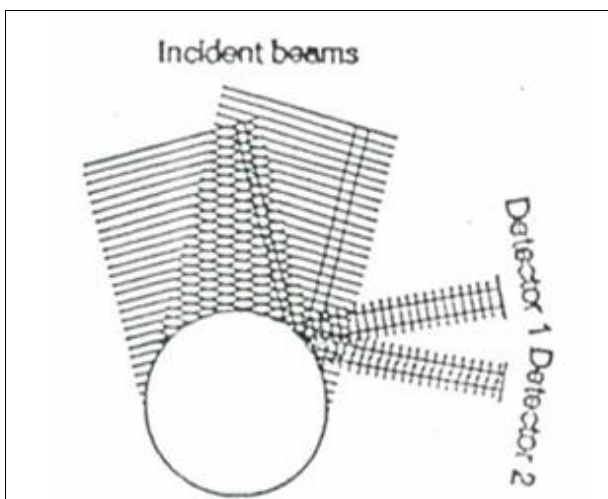
با توجه به توضیحات داده شده، سه دسته آزمایش انجام گرفته که نتایج آنها در اینجا بررسی می‌شود.

دسته اول، ۵ انژکتور که قطر ورودی آنان متفاوت بوده است، مطالعه شده‌اند. نتایج مطالعات در شکل ۶ آمده است. با توجه به شکل ۶ ملاحظه می‌شود که با افزایش قطر خروجی نازل:

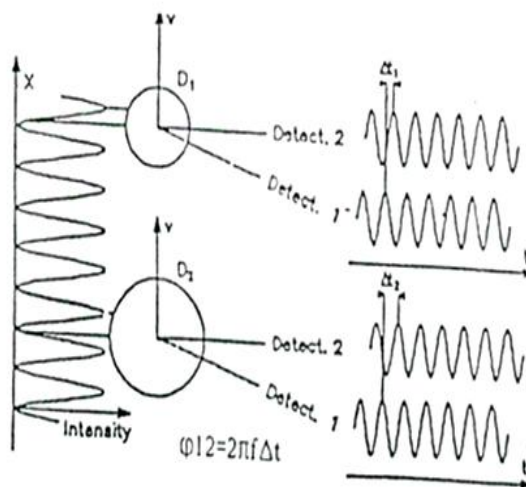
- قطر قطرات زیادتر می‌شود (فشار ثابت). با توجه به شکل ۶-e
- ازدیاد قطر نازل به اندازه قطرات خطی بوده ولی هر چه قطر نازل زیادتر میشود شیب منحنی زیاد شدن قطرات بیشتر می‌شود.
- سرعت محوری کم و سرعت شعاعی زیاد می‌شود.
- دبی خروجی زیاد شده ولی ازدیاد قطر خروجی با زیاد شدن اندازه قطرات خطی نیست.
- زاویه پاشش زیادتر شده و در قطرهای بالای نازل، شیب منحنی زیاد شدن زاویه پاشش تندتر است.
- اگر نتایج به دست آمده را با رابطه تجربی ارائه شده در مرجع [۹] مقایسه کنیم، مشاهده می‌شود با نتایج همخوانی دارد.
- دسته دوم، آزمایش تغییر زاویه ورودی ارفیس با توجه به شکل ۷ با افزایش زاویه  $\theta$  نتایج زیر حاصل می‌گردد:
  - قطر قطرات زیاد می‌شود.
  - دبی خروجی زیاد می‌شود.
  - زاویه پاشش تا زاویه  $2\theta = 100$  زیاد می‌شود و پس از آن کاهش می‌یابد و به عبارتی در زاویه  $\theta = 50$  ماکزیمم زاویه مخروط پاشش را دارد.

$$B_i = \sqrt{2} \left\{ \sqrt{1 + \sin \frac{\gamma}{2} \sin \phi_i \sin \psi_i - \cos \frac{\gamma}{2} \cos \phi_i} - \sqrt{1 - \sin \frac{\gamma}{2} \sin \phi_i \sin \psi_i - \cos \frac{\gamma}{2} \cos \phi_i} \right\} \quad (5)$$

در رابطه (۵)،  $\phi_i$  زاویه پراکندگی،  $\psi_i$  زاویه چرخش دریافت‌کننده نور و  $\gamma$  زاویه برخورد دو نور که تشکیل فرنچ را می‌دهند، می‌باشد.



(a) انعکاس و دریافت نور از دو آشکارساز در دو موقعیت مختلف



(b) اختلاف فاز مختلف برای دو قطره با اندازه‌های مختلف

شکل ۵. چگونگی اندازه‌گیری قطر قطره

### ۵. روش انجام آزمایش

انژکتور مورد نظر به فیکسچری که ساخته شده است بسته و ابتدا سلامت و صحت کارکرد مسیرهای جریان مورد بررسی قرار می‌گیرد، سپس دمای آب، محیط، فشار تانک و فشار محیط ثبت می‌گردد که این مقادیر لازم است در طول آزمایش ثابت بماند. مرحله بعدی تنظیم دستگاه است که تشکیل حجم اندازه‌گیری (fringe) مهم‌ترین تنظیم در این آزمایش می‌باشد. مقطع

بطور کلی می توان نتیجه گرفت:

- قطر قطرات از مرکز اسپری به خارج آن افزایش دارد.
- سرعت محوری در مرکز اسپری زیاد و در کناره های اسپری کمتر می شود.
- سرعت شعاعی در مرکز اسپری زیاد و در کناره ها تقریباً ثابت است.
- قطر قطرات با ازدیاد فشار کمتر می گردد.
- زاویه پاشش با ازدیاد فشار زیادتر می شود.

**۸. جمع بندی**

در این مقاله اثر سه پارامتر هندسی بر عملکرد یک پاشنده پیچشی که در موتورهای هوافضایی کاربرد دارد حول شرایط نامی مرسوم در صنعت هوافضا بررسی شده است. این مطالعات از چند جهت دارای اهمیت می باشند که به آنها اشاره می شود:

- در طراحی موتورهای هوافضایی می توان به کمک اطلاعات تدوین شده به سهولت پیشنهاداتی برای اصلاح عملکرد موتور در راستای بهینه سازی یا رفع مشکلات ارایه نمود.
- در صورتی که در آزمایشات عملکردی مشکلاتی مشاهده شود می توان به علل هندسی یا ساختمانی احتمالی (خطاهای ساخت) آن پی برد.
- مجموعه اطلاعاتی حاضر می تواند به عنوان یک پایگاه داده برای مقایسه نتایج شبیه سازی ها و تأیید آن مورد استفاده قرار گیرد.
- با توجه به اطلاعات فوق و استفاده از روش شبکه های عصبی<sup>۱</sup> می توان رفتار انژکتور را پیش بینی کرد.

• سرعت محوری و شعاعی زیاد می شود.

- در فواصل دور از دهانه، سرعت محوری مستقل از زاویه  $\theta$  می باشد. برای سرعت شعاعی، در نزدیکی دهانه مستقل از  $\theta$  و در نواحی دور با ازدیاد  $\theta$ ، زیاد می شود.
- دسته سوم، افزایش عمق شیار مارپیچ، (شکل ۸) که نتایج زیر حاصل شد:
- دبی افزایش پیدا می کند.
- قطر قطرات زیاد می شود.
- سرعت محوری و شعاعی زیاد می شود.
- زاویه پاشش تا عمق  $h = 1mm$  زیاد می شود و پس از آن کاهش می یابد.

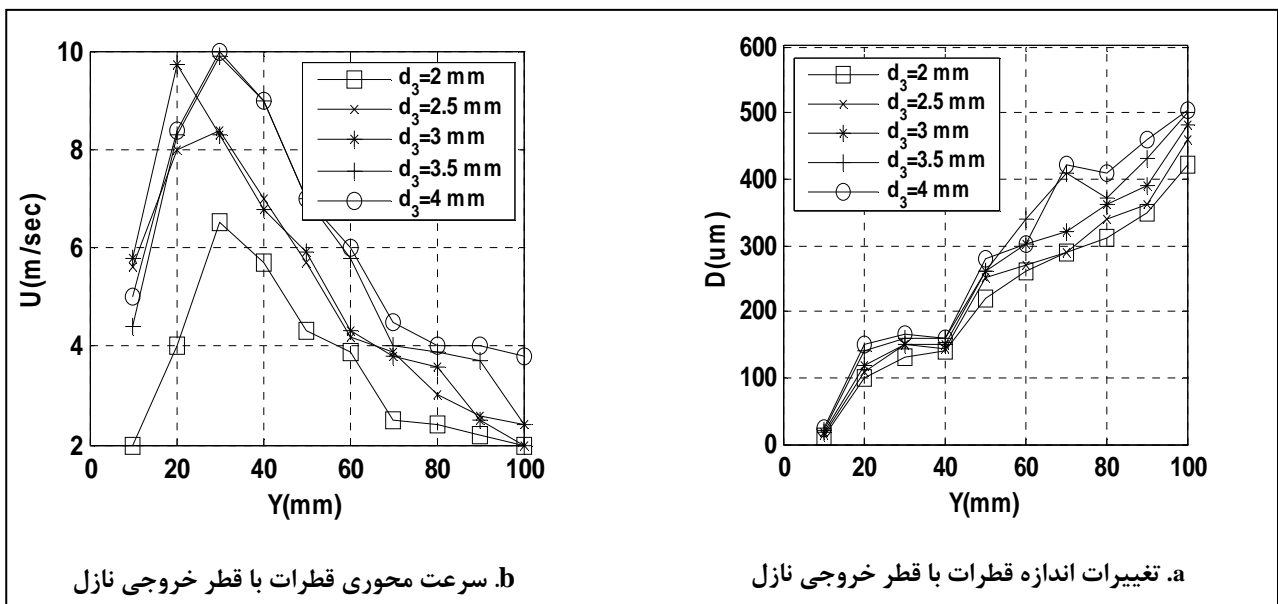
با توجه به اینکه با افزایش طول مارپیچ افت زیاد و دبی به شدت کم می شد، لذا پیش بینی می شود که با افزایش طول مارپیچ، دبی، قطر قطرات، سرعت های محوری و شعاعی و همچنین زاویه مخروط پاشش کم می شوند.

**۷. نتایج کلی**

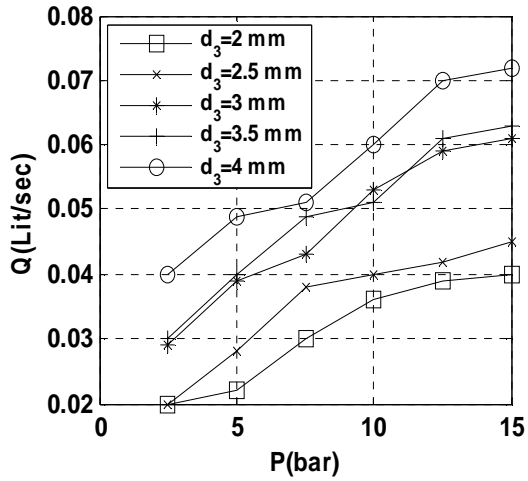
با توجه به مطالب بخش ۶، می توان نتایج کلی را به شرح جدول ۱ نشان داد.

**جدول ۱. خلاصه ای از نتایج تمام آزمایشات**

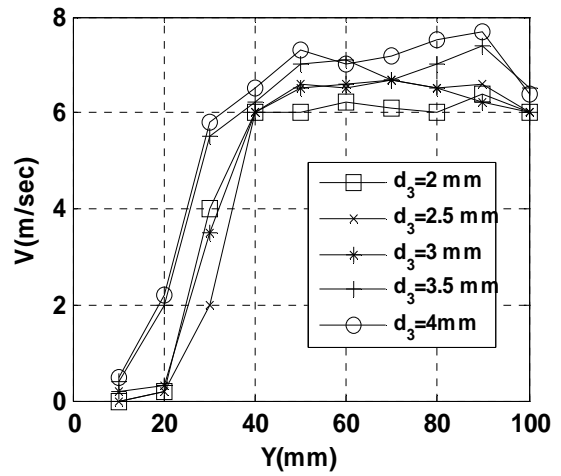
مشخصات	دبی	قطر قطرات	زاویه مخروط پاشش	سرعت محوری	سرعت شعاعی	نمود اسپری
قطر خروجی نازل ( $d_3$ )	Up	Up	Up	down	Up	Up
زاویه داخلی خروجی $\theta$	Up	Up	Up-down	Up	Up	Up
عمق شیار ( $h$ )	Up	Up	Up-down	Up	Up	Up



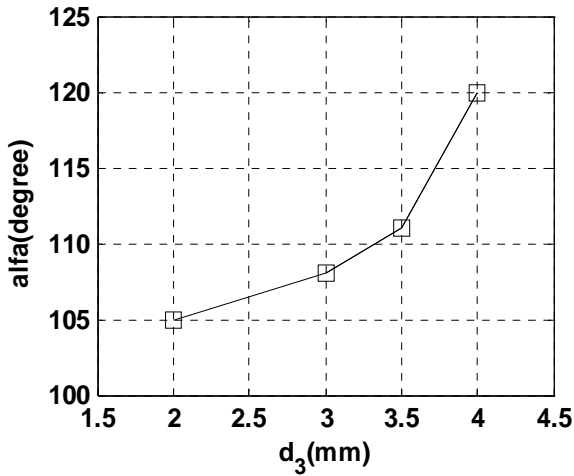
<sup>1</sup> Neural Network Prediction



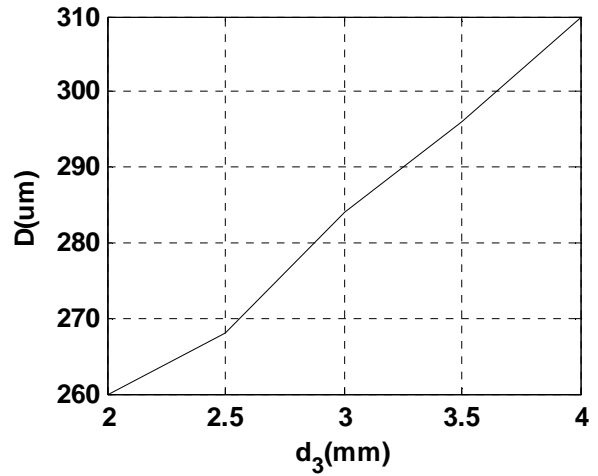
d. تغییرات دبی با قطر خروجی نازل



c. تغییرات سرعت شعاعی با قطر خروجی نازل

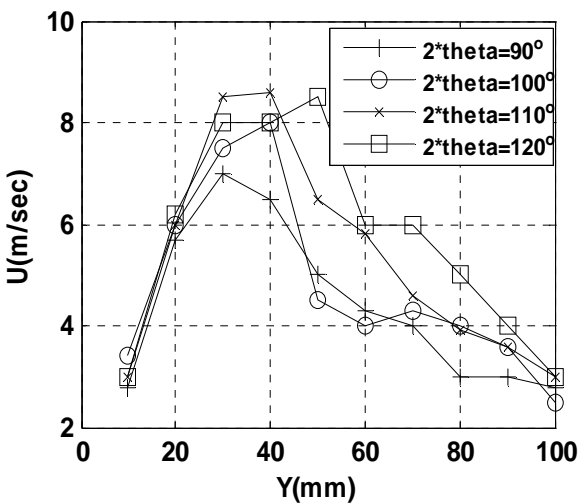


f. تغییرات زاویه مخروط پاشش

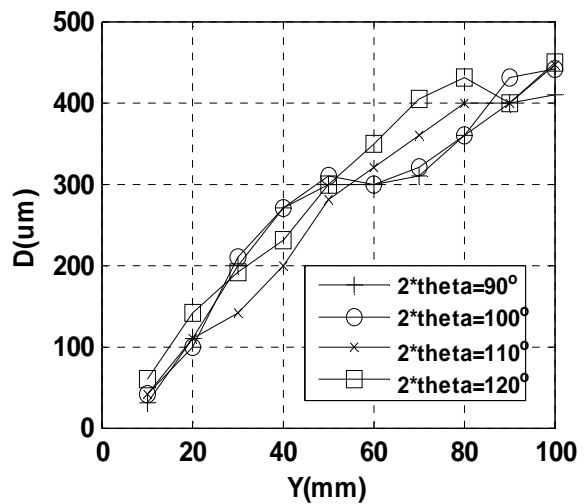


e. تغییرات اندازه قطره با قطر خروجی انژکتور (نازل)

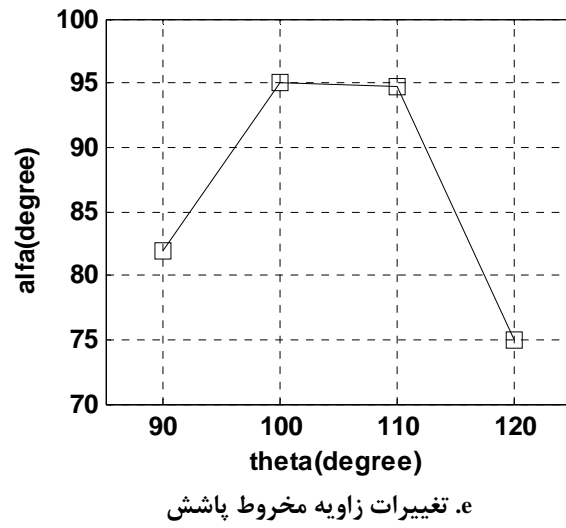
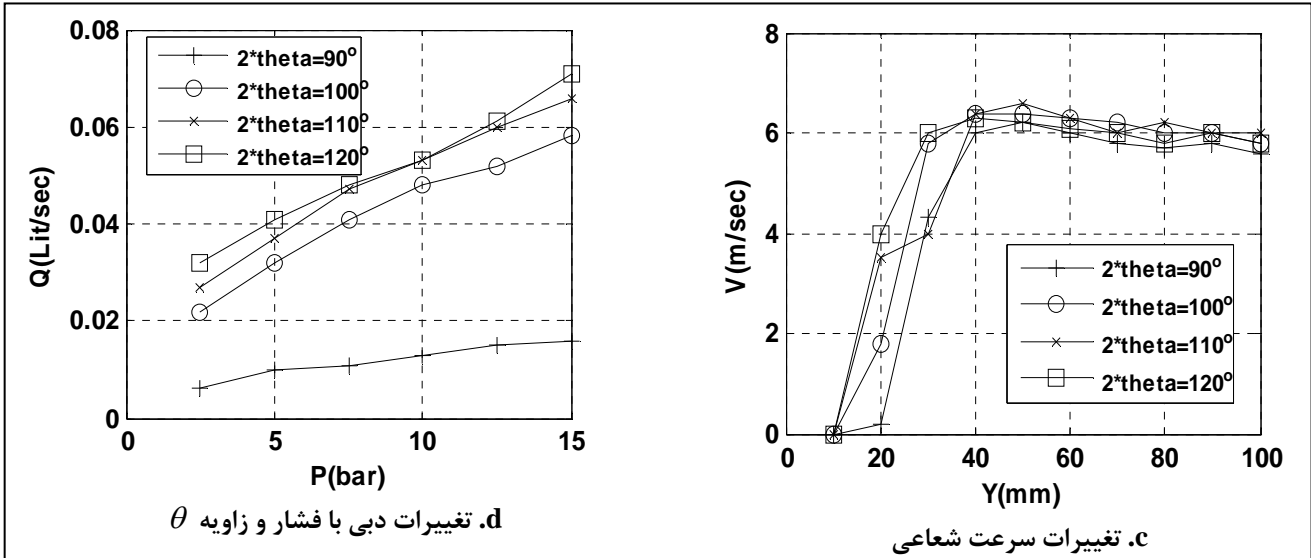
شکل 6. تغییرات اندازه، سرعت محوری و شعاعی قطرات و دبی خروجی برحسب تغییرات قطر خروجی نازل



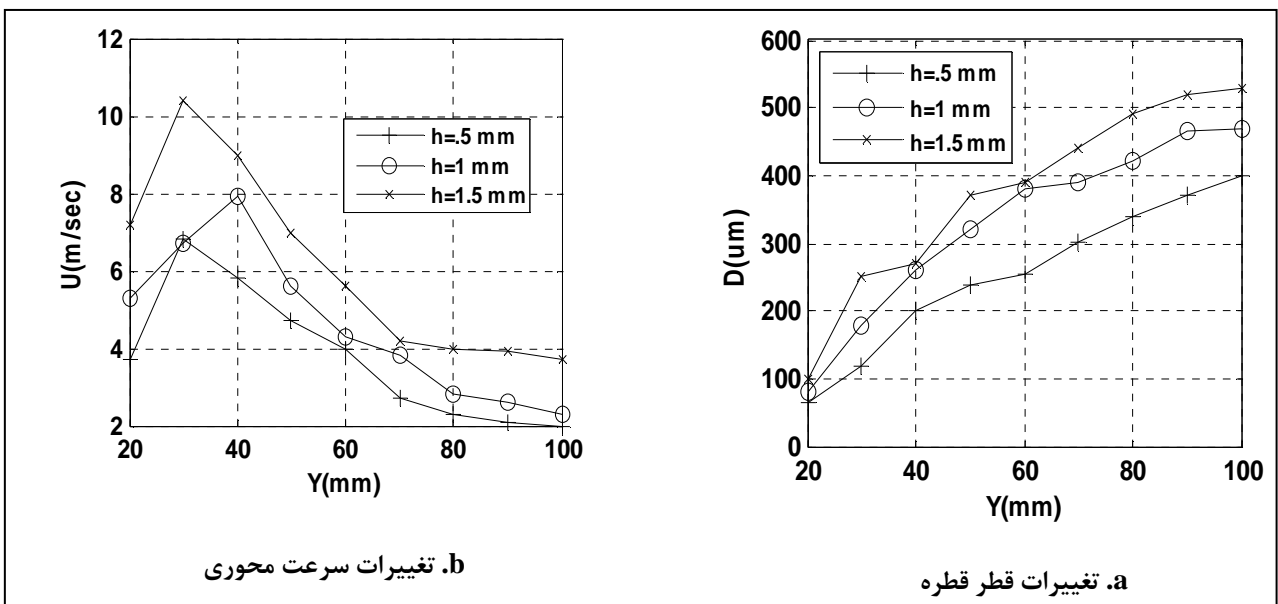
b. تغییرات سرعت محوری

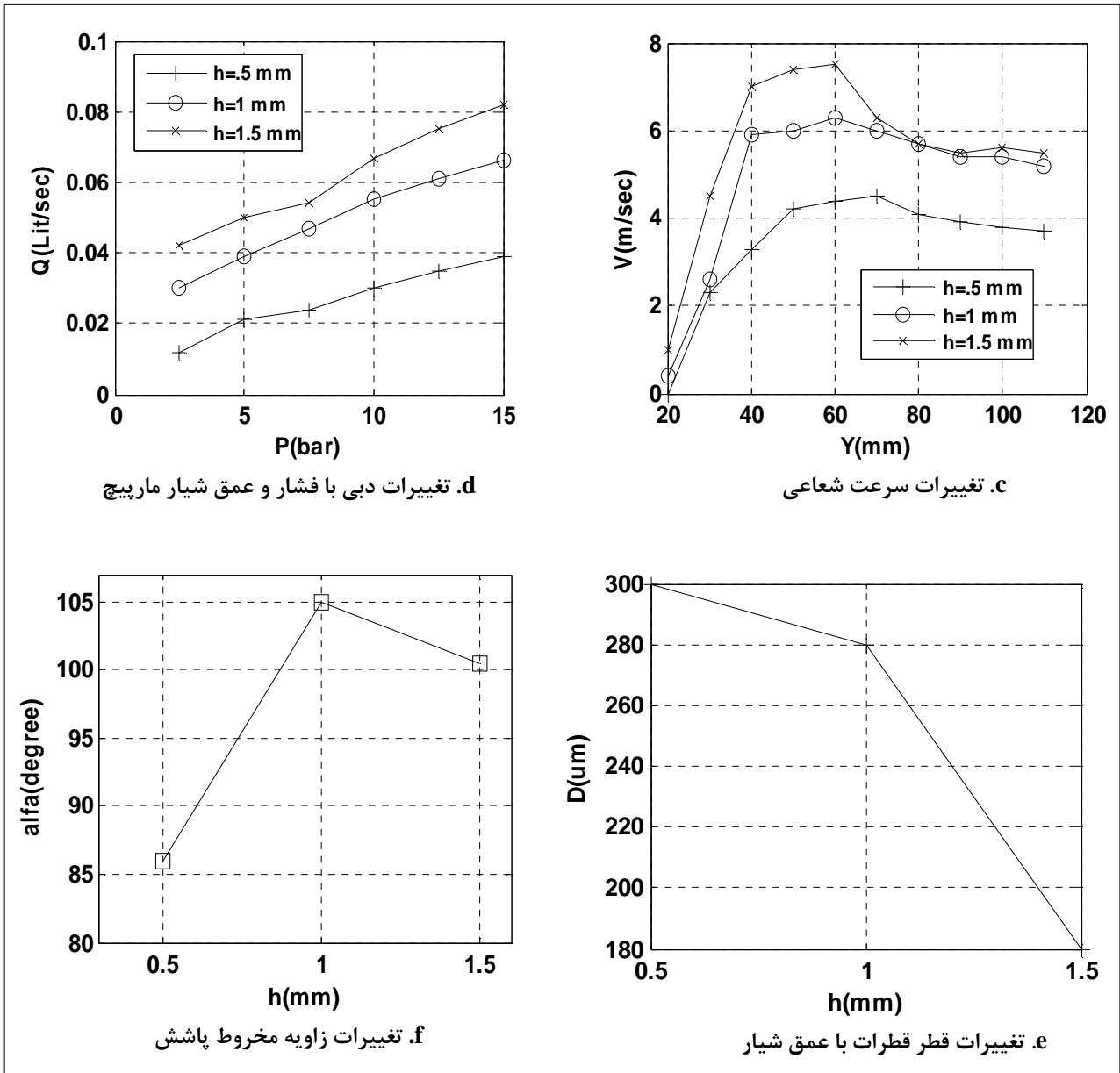


a. تغییرات قطر قطره



شکل ۷. تغییرات مشخصات اسپری با زاویه  $\theta$





شکل ۸. تغییرات مشخصات اسپری با عمق شیار مارپیچ

علائم بکار رفته در مقاله

$v$  = سرعت شعاعی قطرات

$u$  = سرعت محوری قطرات

$Q$  = دبی حجمی

$h$  = عمق شیار قطعه مارپیچ

$f$  = فرکانس

$\varphi$  = فاز

$t$  = زمان

$s$  = ضخامت لایه باریک یک فرنچ

$\gamma$  = زاویه تابش نور

$V$  = سرعت

$U_p$  = زیاد میشود

$d_1$  = قطر سوراخ ورودی انژکتور

$d_2$  = قطر قطعه مارپیچ انژکتور

$d_3$  = قطر سوراخ خروجی انژکتور (قطر ارفیس)

$L$  = طول قطعه مارپیچ انژکتور

$\theta$  = زاویه داخلی ارفیس

$\alpha = (n_1 / \lambda) D$  (ضریب B)

$B$  = ضریب هندسی انعکاس اول

Alfa = زاویه مخروط پاشش

$\beta$  = زاویه ورودی محفظه انژکتور

$D$  = قطر متوسط قطره



- [15] Ghorbanian, K., "Eperi Mental Flow Visualization of Single Swirl Spray Pattern at Various Pressure Drops", 1995.

کم می شود = down

### مراجع

- [1] Dantec measurement technology "PDA User's Manual" 1992.
- [2] Dantec measurement technology "Size Wave Installation user's guide", 1993.
- [3] Dantec measurement technology "Fiber Flow 60 x Series", 1997.
- [4] Bates, C.J., School of Eng. Un. Of wales, college of cardrff wales "Pressure Atomizer PDA Measurement" Dantec information No. 11 June, 1992.
- [5] Zano, Y. H., M.li, W., Chin, J.S, "Experimental and Analytical Investigation on the Variation of Spray Characteristics Along Radial Distance Downstream a Pressure Swirl Atomizer" J. of engineering for gas turbines and power July 1986, Vol. 108/473.
- [6] Dorfner, V., Domnick, J., Darst, F., Kohler, R., "Viscosity and Surface Tension Effects in Pressure Swirl Atomization" atomization and sprays. Vol. 5, 1996, PP. 261-28.
- [7] Hay, N., Jones, P.L., "Comparison of the Various Relations for Pray Penetration." SAE Technical paper series 720776, 1995.
- [8] Bucco, F.B., Reitz, R.D., "On the Dependence of Sprays Angle and Other Spray Parameters on Nozzle Design and Operating Conditions." ASE Technical paper series 790794, 1994.
- [9] Yule, A.J., Sharif, R.A., Jeong, J.R., Nasr, G.G., James, D.D., "The Performance Characteristics of Solid – Cone – Spray Pressure–Swirl Atomizers" atomization and sprays, Vol, 10, 1990, PP. 627-646.
- [10] Ramamurthi, K., John Tharakan, T., "Experimental Study of Liquid Sheets Formed in Coaxial Swirl Injector" journal of propulsion and power vol. 11 No 6 November–December 1995.
- [11] Wany, X.F., Lefebvret, A.H., "Mean Drop Size From Pressure–Swirl Nozzles" J. propulsion Vol.3, No. 1, JAN–FEB, 1987.
- [12] Mao, C.P., Wang, G., Chigier, N., "The Structure and Characterization of Air-Assisted Swirl Atomizer Sprays" Atomization and Spray Technology 2, 1986, PP.151-169.
- [13] Chany, H., Nelson, D., Ssipperley, C., Edwards, C., "Development of a Temporally Modulated Fuel Injector with Controlled Spray Dynamics" 284, Vol. 125, JANUARY 2003, copyright c2003 by AZME .
- [14] Ortman, J., Lefebvre, A.H., "Fuel Distributions From Pressure–Swirl Atomizer", J. propulsion, Vol. I, No.1, JAN-FEB,1985.